

# Matematické modelování mobility martenzitických mikrostruktur

Ondřej Glatz

Katedra matematiky  
Fakulta jaderná a fyzikálně inženýrská  
České vysoké učení technické v Praze

- Plně implementovat model navržený v rámci výzkumného úkolu pro výpočet uložené elastické energie nekompatibilních martenzitických mikrostruktur.
- S pomocí vytvořeného modelu analyzovat nekompatibilní mikrostruktury pozorované v ÚT AVČR.
- Navrhnout a implementovat model pohyblivých martenzitických mikrostruktur.
- Vyšetřit mobilitu pozorovaných mikrostruktur.

## 1 Martenzitická fázová transformace

- Vlastnosti
- Matematický popis
- Rovnovážné struktury

## 2 Modelování nekompatibilních mikrostruktur

- Vlastnosti nekompatibilních mikrostruktur
- Modifikovaný model rovnovážných struktur
- Mobilita martenzitických mikrostruktur

## 3 Výsledky

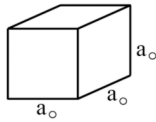
## 4 Závěr

# Vlastnosti martenzitické transformace

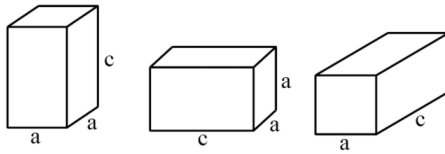
## Vlastnosti martenzitické transformace

- Reverzibilní fázová transformace 1. druhu.
- Bezdifúzní. Malá změna parametrů krystalové mříže.
- Vysokoteplotní fáze – **austenit** – vysoce symetrická.
- Nízkoteplotní fáze – **martenzit** – nižší symetrie.
- Více možných energeticky ekvivalentních variant martenzu.

Austenit



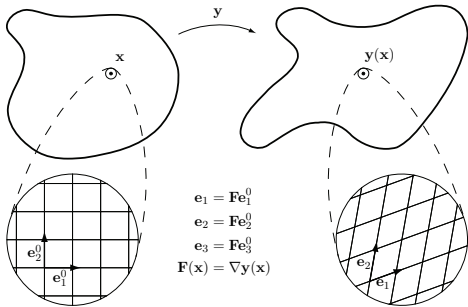
Martenzit



# Matematický popis transformace

## Matematický popis transformace

- Fázovou transformaci chápeme jako deformaci krystalové mříže.
- Popisujeme ji pomocí afinního zobrazení:  $\mathbf{y} : (\mathbb{R}^3) \rightarrow \mathbb{R}^3$ .
- Každá fáze je reprezentována pozitivně definitní maticí  $\mathbf{U}$  z polárního rozkladu gradientu  $\nabla \mathbf{y} = \mathbf{F} = \mathbf{R}\mathbf{U}$ .



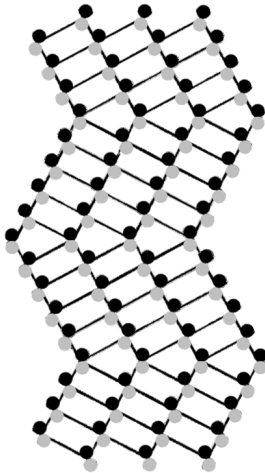
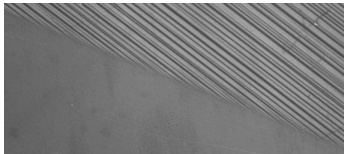
# Rovnovážné struktury

## Kompatibilita variant

- Struktura zahrnující více variant martenitu musí splňovat *podmínky kompatibility* vyplývající z požadavku na spojitost deformace.
- Sousedící varianty  $\mathbf{U}_1$  a  $\mathbf{U}_2$  musí splňovat tzv. **Hadamardovu podmínku**:

$$\mathbf{R}\mathbf{U}_1 - \mathbf{U}_2 = \mathbf{a} \otimes \mathbf{n} .$$

- Nekompatibilita s okrajovými podmínkami vede ke vzniku jemné struktury – **martenzitické mikrostruktury**, která podmínky kompatibility splní alespoň limitně.



# Klasický model

## Klasický model

- Předpokládá se, že za daných okrajových podmínek výsledná struktura **globálně** minimalizuje volnou energii materiálu.
- To vede na variační problém pro funkcionál

$$W(\theta, \nabla \mathbf{y}) = \int_{\Omega} w(\theta, \mathbf{U}(\mathbf{x})) d\mathbf{x}, \quad \mathbf{U} = \sqrt{\nabla \mathbf{y}^T \nabla \mathbf{y}},$$

$$\mathbf{y}|_{\partial\Omega} = \mathbf{y}_0(\mathbf{x}) \quad \vee \quad \nabla \mathbf{y}|_{\partial\Omega} = \mathbf{F}(\mathbf{x}).$$

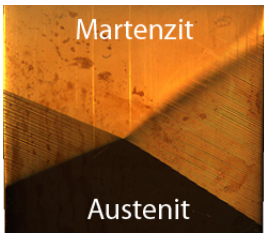
- Kvůli multikonvexnosti funkce  $w(\theta, \cdot)$  má tento problém obecně jen asymptotické řešení ve tvaru minimalizující posloupnosti deformací.
- Minimalizující posloupnosti lze přiřadit makroskopický deformační gradient a zobecnit tak Hadamartovu podmínu i na tyto posloupnosti.



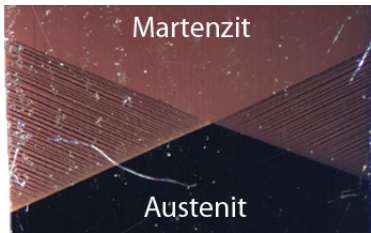
# Vlastnosti nekompatibilních mikrostruktur

## Mikrostruktury lambda a X

- Žádná z možných kombinací variant martenzitu nesplňuje podmínu kompatibility makroskopických gradientů.
- Nelze nalézt globálně minimalizující posloupnost.
- Kompatibilita je možná jen za přítomnosti elastické deformace.



Obrázek: Lambda mikrostruktura



Obrázek: X mikrostruktura

# Modifikovaný model rovnovážných struktur

## Úprava klasického modelu

- Mikrostruktura nemusí globálně minimalizovat volnou energii.
- Mikrostruktura lokálně minimalizuje energii elastické deformace.

## Analýza mikrostruktur lambda a X

- Byl zaveden pojem *míry nekompatibility deformačních gradientů* jako

$$\min_{\|n\|=1} \max_{\substack{t \perp n \\ \|t\|=1}} \|\mathbf{F}t - \mathbf{G}t\| .$$

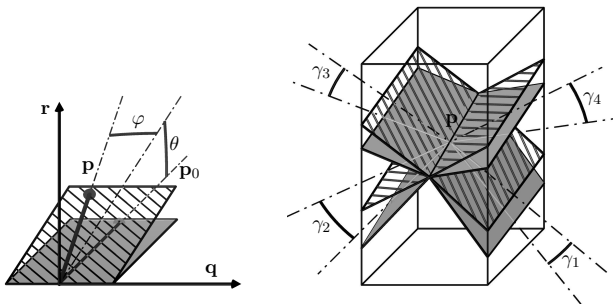
- Odpovídající rovina minimální nekompatibility určuje přibližný odhad polohy skutečného rozhraní mezi nekompatibilními oblastmi.
- Porovnáním odhadovaných poloh fázových rozhraní s mikrosnímkými pozorovaných mikrostruktur byly identifikovány varianty martenzitu tvořící tyto mikrostruktury.



# Určení optimální geometrie mikrostruktury

## Postup

- Geometrii mikrostruktury vhodně parametrizujeme.
- Pomocí kritéria minimální nekompatibility určíme přibližné hodnoty parametrů.
- Získané parametry použijeme jako počáteční bod pro optimalizační proceduru minimalizující elastickou energii mikrostruktury.

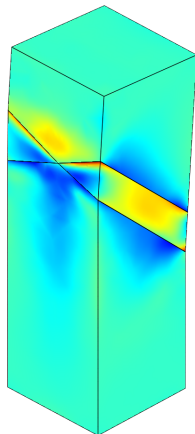
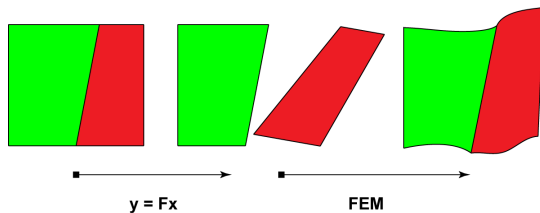


Obrázek: Parametrisace geometrie mikrostruktury

# Výpočet elastické deformace a energie

## Výpočet elastické deformace a energie

- Transformaci z austenitu do martenzitu modelujeme jako neelastickou deformaci danou makroskopickými deformačními gradienty následovanou elastickou deformací vyrovnávající vzniklou nekompatibilitu.
- První část transformace je počítána v MATLABu, následující úloha lineární elasticity je řešena metodou konečných prvků (FEM) implementovanou v programu Comsol Multiphysics.



Obrázek: Hydrostatické napětí (rozměry vzorku 15 mm × 4,7 mm × 4,6 mm)

# Mobilita martenzitických mikrostruktur

## Model

- Zkoumáme časový vývoj parametrů mikrostruktury při spontánní fázové transformaci při stálých vnějších podmínkách.
- Založeno na Biotově variačním principu virtuální disipace:

$$\frac{dE}{dt} = \frac{dA}{dt} + \frac{1}{2} \int_{\mathcal{V}} \sigma_{ij}^{\text{diss.}} \dot{\epsilon}_{ij} d\mathbf{x} \rightarrow \min ,$$

$$A = c_m \mathcal{V}_m + c_a \mathcal{V}_a + E_e .$$

- Optimalizujeme vzhledem k 7 geometrickým parametrym mikrostruktury a rychlosti jejich změn.

## Parametry

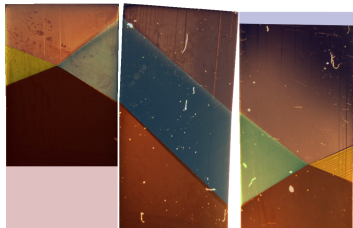
- $c_m$  a  $c_a$  – hustoty transformační energie martenzitu a austenitu.
- Disipační tenzor:

$$\sigma^{\text{diss.}} = \mu_V \frac{\text{tr } \dot{\epsilon}}{3} \mathbf{I} + \mu_S \left( \dot{\epsilon} - \frac{\text{tr } \dot{\epsilon}}{3} \mathbf{I} \right) .$$

- $\mu_V$  a  $\mu_S$  – parametry objemové a smykové viskozity.



# Optimální geometrie mikrostruktur lambda a X



Obrázek: Lambda mikrostruktura

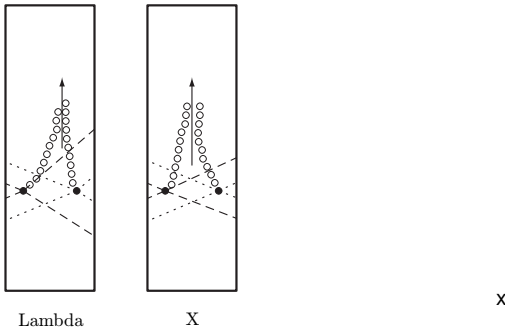


Obrázek: X mikrostruktura

## Porovnání optimální geometrie s experimentem

- Průměrná odchylka přibližně  $1,5^\circ$ .
- Optimální geometrie je „blízko“ výchozí (odhad pomocí kritéria minimální nekompatibilita je tedy dostatečně přesný).
- Chyby způsobeny pravděpodobně použitým zjednodušením geometrie (rovinná rozhraní, homogenizovaný laminát...)

# Mobilita mikrostruktur lambda a X



Obrázek: Schéma pohybu mikrostruktur

Obrázek: Vývoj snykového napětí v mikrostruktúre X

## Vývoj mikrostruktury

- Obě pozorované mikrostruktury se vyvíjí směrem k nekompatibilnímu stavu.
- Postupně se vyrovnává rozložení napětí podél všech rozhraní.

- Výsledky práce

- Ukázali jsme, že pozorované mikrostruktury nesplňují podmínky kompatibility vyžadované klasickým modelem.
- Navrhli jsme modifikaci klasického modelu tak, abychom byli schopni s těmito nekompatibilními mikrostrukturami pracovat.
- Ověřili jsme, že nový model dobře předpovídá parametry rovnovážných mikrostruktur.
- Vytvořili jsme model schopný podchytit spontánní vývoj nekompatibilních mikrostruktur.

- Související publikace

- Seiner, H. - Glatz, O. - Landa, M.: Interfacial Microstructures in Martensitic Transitions: From Optical Observations to Mathematical Modeling. *International Journal for Multiscale Computational Engineering*, 2009.
- Glatz, O. - Seiner, H. - Landa, M.: FEM Modelling of Elastically Strained Interfacial Microstructures in Cu-Al-Ni Single Crystals, In: *The 8th European Symposium on Martensitic Transformations*, 2009.
- Přednáška na mezinárodní konferenci ESOMAT 2009.



# Dotazy

## Otázka

Běžně se hustota uložené energie modeluje jako bodové minimum z energií jednotlivých variant martensitu/austenitu. Máte nějaký návrh jak toto modifikovat, aby to zachytilo i Vámi popsané beznapěťové stavy?

- St. Venant–Kirchhoff:  $w(\theta, \mathbf{U}) = \min_k \{ (\mathbf{U} - \mathbf{U}_k^*)^T \mathbf{C} (\mathbf{U} - \mathbf{U}_k^*) + d_k(\theta) \}$

$$W(\theta, \mathbf{y}) = \int w(\theta, \mathbf{U}(\mathbf{x})) \, d\mathbf{x} \rightarrow \min \quad (*)$$

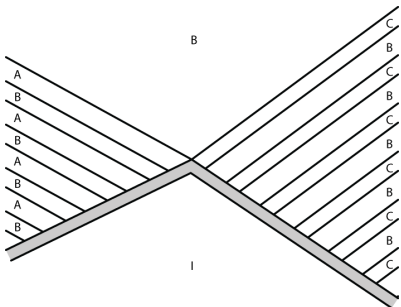
- Kvůli nesplněným podmínkám kompatibility nelze pro pozorované mikrostruktury integrál minimalizovat bodově.
- Při transformační teplotě lze položit  $d_k = 0$ . Navíc, pro každý bod máme variantu  $\mathbf{U}_k^*$  určenu z experimentu, netřeba proto hledat minimum přes  $k$ .
- Úloha (\*) tak přejde v minimalizaci elastické energie, jak je použito v práci.



# Dotazy

## Otázka

Je něco známo o tom, jestli jsou mikrostruktury typu lambda a X laminátem? Tedy jestli příslušná Youngova míra splňuje Jensenovu nerovnost pro všechny rank-1 konvexní funkce?



Obrázek: Mikrostruktura X

- Bez elasticke deformace:  
 $\nu = \mu_1\delta_I + \mu_2\delta_B + \mu_3(\lambda_1\delta_A + (1 - \lambda_1)\delta_B) + \mu_4(\lambda_2\delta_B + (1 - \lambda_2)\delta_C)$
- Nerovnost  
 $W\left(\int_{\mathbb{R}^{3,3}} \mathbf{A} d\nu\right) \leq \int_{\mathbb{R}^{3,3}} W(\mathbf{A}) d\nu$  je splněna pro každou rank-1 konvexní funkci  $W$ , pokud platí podmínky kompatibilité gradientů.
- Jinak obtížně řešitelná úloha. Při přítomnosti elasticke deformace nejsme schopni jednoduše určit ani míru  $\nu$ .